

УДК 62.506.2

А. В. ПАЛЬЧИК, Ю. И. ЗОЗУЛЯ, В. Г. ЧЕРВОВ, канд. техн. наук

МАТЕМАТИЧЕСКАЯ МОДЕЛЬ НЕЙРОННОЙ СЕТИ СЛУХОВОГО АНАЛИЗАТОРА

Слуховой анализатор — один из самых высокоразвитых дистантных анализаторов нервной системы животных и человека. Экспериментально исследованы многие особенности структурно-функциональной организации нейронной сети слухового анализатора, которые не отражены в известных математических моделях [1 — 4].

В данной работе предлагается обобщенная математическая модель слухового анализатора и более подробно анализируются процессы преобразования звуковых сигналов в возбуждение слуховых рецепторов, а также рассматриваются некоторые особенности фильтрации, кодирования, запоминания и воспроизведения слуховых сигналов.

Основные этапы преобразования сигналов слуховым анализатором

Внешний звуковой сигнал через систему среднего уха поступает в рецепторный аппарат и вызывает колебания мембран внутреннего уха. В процессе возбуждения рецепторных волосковых клеток основную роль играет базилярная мембрана, которая состоит из эластичных слабо связанных между собой волокон. Упругие свойства базилярной мембраны уменьшаются в направлении к геликотреме, поэтому положение точки максимального смещения мембраны зависит от скорости изменения давления звукового сигнала (от его частоты и интенсивности).

Слуховой сигнал, закодированный в импульсной форме, обрабатывается различными отделами подкорки и коры головного мозга. Предварительный анализ сигналов (рис. 1, где 1, 1' — рецепторы, 2, 2' — оливы, кохлеарные ядра, 3, 3' — медиальное колленчатое тело) осуществляет часть анализатора вплоть до слуховой коры (кохлеарные ядра, оливы, нижние бугры четверохолмия, медиальное колленчатое тело). Этот анализ заключается в выделении полезных сигналов на фоне шумов и в преобразовании сигналов к виду, удобному для последующего анализа слуховой корой (рис. 1). Под шумами подразумеваются все те сигналы, которые в данный момент времени не являются необходимыми для формирования поведения животного.

Полезный сигнал, на который животное или человек обратили свое внимание, проходит по оптимально настроенным по отношению к нему каналам связи и вызывает соответствующую реакцию в воспринимающих звездчатых клетках коры 4, 4' (рис. 1). В синапсах, соединяющих звездчатые клетки с пирамидными 5, 5', происходит запоминание звукового сигнала. На основании сигналов, хранящихся в памяти, слуховая система может предсказывать характеристики оптимального входного сигнала, что позволяет эффективно бороться с шумами.

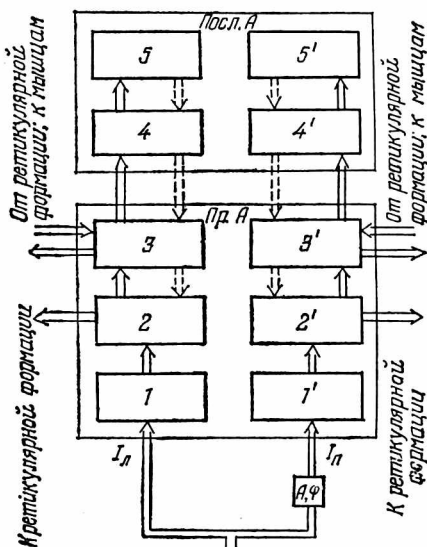


Рис. 1.

Математическая модель слухового анализатора

На подпороговом уровне нейроны обладают рядом линейных свойств. Поэтому с учетом высокой плотности связей между нейронами нейронные структуры можно представить в виде непрерывной нейронной среды и использовать интегральные уравнения для описания, а нелинейности преобразований подпороговых реакций нейронов описать с помощью дополнительных уравнений. В целом система уравнений многослойной нейронной сети слухового анализатора может быть представлена в виде [5]

$$\vec{P}(\vec{x}, t) = \varphi \int_{R^3} \int_{-\infty}^t \vec{G}(\vec{x}, \vec{x}', t, t') \vec{P}(\vec{x}', t') dt' d\vec{x}' + \int_{-\infty}^t \vec{K}_p(\vec{x}, t, t') \vec{I}(t') dt';$$

$$\vec{Q}(\vec{x}, t) = \vec{P}(\vec{x}, t) \mid [\vec{P}(\vec{x}, t) - \vec{c}(\vec{x}, t)];$$

$$\vec{G}(\vec{x}, \vec{x}', t, t') = \vec{A}_{\vec{x}, t} [P^T(\vec{x}', t'), \vec{I}^T(t')];$$

$$\vec{K}_p(\vec{x}, t, t') = \vec{B}_i [P^T(\vec{x}', t'), \vec{I}^T(t')],$$

где $\vec{P}(\vec{x}, t)$ — вектор-столбец подпороговых реакций нейронных слоев;

$\vec{Q}(\vec{x}, t)$ — вектор-столбец надпороговых реакций;

$\vec{G}(\vec{x}, \vec{x}', t, t')$ — матрица функций влияния $G_{jk}(\vec{x}, \vec{x}', t, t')$, описывающих влияние k -го слоя нейронов на j -й слой;

$\vec{K}_p(\vec{x}, t, t')$ — матрица динамических характеристик слуховых рецепторов.

Согласно структурно-функциональной схеме (рис. 1) распишем матрицу функций влияния для нейронной сети слухового анализатора

$$\vec{G} = \begin{array}{c|cccc|cccc} \vec{G}_{11} & 0 & 0 & 0 & 0 & 0 & \vec{\theta}_{12'} & 0 & 0 & 0 \\ \vec{G}_{21} & \vec{G}_{22} & \vec{\theta}_{23} & 0 & 0 & 0 & \vec{G}_{22'} & 0 & 0 & 0 \\ 0 & \vec{G}_{32} & \vec{G}_{33} & \vec{\theta}_{34} & 0 & 0 & 0 & \vec{G}_{33'} & 0 & 0 \\ 0 & 0 & \vec{G}_{43} & \vec{G}_{44} & \vec{\theta}_{45} & 0 & 0 & 0 & \vec{\theta}_{43'} & 0 & 0 \\ 0 & 0 & 0 & \vec{G}_{54} & \vec{G}_{55} & 0 & 0 & 0 & 0 & 0 & \vec{\theta}_{55'} \\ \hline 0 & \vec{\theta}_{1'2} & 0 & 0 & 0 & \vec{G}_{1'1'} & 0 & 0 & 0 & 0 & 0 \\ 0 & \vec{G}_{2'2} & 0 & 0 & 0 & \vec{G}_{2'1'} & \vec{G}_{2'2'} & \vec{\theta}_{2'3'} & 0 & 0 & 0 \\ 0 & 0 & \vec{G}_{3'3} & 0 & 0 & 0 & \vec{G}_{3'2'} & \vec{G}_{3'3'} & \vec{\theta}_{3'4'} & 0 & 0 \\ 0 & 0 & \vec{\theta}_{4'3} & 0 & 0 & 0 & 0 & \vec{G}_{4'3'} & \vec{G}_{4'4'} & \vec{\theta}_{4'5'} & 0 \\ 0 & 0 & 0 & 0 & \vec{\theta}_{5'5} & 0 & 0 & 0 & \vec{G}_{5'4'} & \vec{G}_{5'5'} & 0 \end{array}$$

где \vec{G}_{pp} — подматрица функций влияния, характеризующих связи внутри отдельного блока схемы, $p = 1, 2, 3, 4$;

\vec{G}_{pq} — подматрица функций влияния, характеризующих связи между блоками;

$\vec{\theta}_{pq}$ — подматрица функций влияния, характеризующих неспецифические связи q -го слоя с p -м слоем, $q = 1, 2, 3, 4$.

С учетом того, что звуковой сигнал $\vec{I}(t)$ в виде $I_n(t)$ поступает через левую и одновременно с некоторым фазовым и амплитудным различием в виде $I_{II}(t)$ — через правую стороны слухового анализатора, $\vec{K}_p(\vec{x}, t, t')$ можно выразить в виде

$$\vec{K}_p^T = \left\| \begin{array}{cccc|cccc} K_p^n & 0 & 0 & 0 & 0 & 0 & 0 & 0 \\ 0 & 0 & 0 & 0 & K_p^n & 0 & 0 & 0 \end{array} \right\|. \quad (6)$$

Обработка сигналов в слуховом анализаторе

Под обработкой сигналов понимаются операции фильтрации и кодирования, запоминания и воспроизведения, анализа и синтеза пространственно-временных сигналов. В блоке предварительного анализа *Пр. А* слухового анализатора (рис. 1) производится адаптивная фильтрация слуховых сигналов на фоне шумов, в основном сводящаяся к декорреляции последних. В блоке последующего анализа *Посл. А* осуществляется кодирование слуховых сигналов интегральными кодами, их запоминание и воспроизведение, анализ и синтез.

Декорреляция шумов сводится к их дифференцированию. При этом функции влияния $G_{jk}(\vec{x}, \vec{x}', t, t')$ отдельных слоев нейронной сети проявляют дифференциальные свойства различных порядков. Для оценки этих свойств можно использовать разложение функции влияния $G_{jk}(\vec{x}, \vec{x}', t, t')$ по произвольной функции медленного роста $\omega_\varepsilon^{jk}(\vec{x}, \vec{x}', t, t')$ [6], аппроксимирующей δ -функцию Дирака:

$$G_{jk}(\vec{x}, \vec{x}', t, t') = \sum_{|\alpha|=0}^{\infty} (-1)^{|\alpha|} C_{\alpha\varepsilon}^{jk}(\vec{x}, t) \times \\ \times D_{\vec{x}', t'}^\alpha \omega_\varepsilon^{jk}(\vec{x}, \vec{x}_\varepsilon + \vec{x}', t, t_\varepsilon + t'), \quad (7)$$

где

$$C_{\alpha\varepsilon}^{jk}(\vec{x}, t) = \frac{(-1)^{|\alpha|}}{|\alpha|!} \iint_{\vec{R}^3} \int_{-t_\varepsilon}^{\infty} (\vec{x}', t')^\alpha [G_{jk}(\vec{x}, \vec{x} - \vec{x}_\varepsilon - \vec{x}', t, t - t_\varepsilon - t') - \\ - \sum_{|\gamma|<|\alpha|} C_{\gamma\varepsilon}^{jk}(\vec{x}, t) D_{\vec{x}', t'}^\gamma \omega_\varepsilon^{jk}(\vec{x}, \vec{x} - \vec{x}', t, t - t')] dt' d\vec{x}'; \quad (8)$$

$$\iiint_{R^3} \int_{-t_{\text{ц}}}^{\infty} x_1' x_2' x_3' t' |G_{jk}(\vec{x}, \vec{x} - \vec{x}_{\text{ц}} - \vec{x}', t, t - t_{\text{ц}} - t')| dt' d\vec{x}' = 0;$$

$$D_{x, t}^{\alpha} = \partial^{|\alpha|} / \partial x_1^{\alpha_1} \partial x_2^{\alpha_2} \partial x_3^{\alpha_3} \partial t^{\alpha_4},$$

$$\alpha = (\alpha_1, \alpha_2, \alpha_3, \alpha_4); \quad |\alpha| = \alpha_1 + \alpha_2 + \alpha_3 + \alpha_4;$$

$$(\vec{x}, t)^{\alpha} = x_1^{\alpha_1} x_2^{\alpha_2} x_3^{\alpha_3} t^{\alpha_4}; \quad \alpha! = \alpha_1! \alpha_2! \alpha_3! \alpha_4!$$

Это разложение является обобщением разложения по моментам выполненного применительно к функциям влияния нейронной сети зрительного анализатора [7, с. 30]. Связь между коэффициентами разложения по моментам $C_{\alpha}(\vec{x}, t)$ и коэффициентами $C_{\gamma \varepsilon}^{jk}(\vec{x}, t)$ имеет вид

$$C_{\gamma \varepsilon}^{jk}(\vec{x}, t) = C_{\alpha}(\vec{x}, t) + \sum_{|\gamma|=0}^{|\alpha|-1} \frac{\gamma!}{\alpha!} C_{\gamma \varepsilon}^{jk}(\vec{x}, t) \times \\ \times \iiint_{R^3} \int_{-t_{\text{ц}}}^{\infty} (\vec{x}', t')^{\alpha-\gamma} \omega_{\varepsilon}^{jk}(\vec{x}, \vec{x} - \vec{x}', t, t - t') dt' d\vec{x}'.$$

По мере увеличения старших моментов функции $\omega_{\varepsilon}^{jk}(\vec{x}, \vec{x}', t, t')$ коэффициенты $C_{\alpha \varepsilon}^{jk}(\vec{x}, t)$ при старших производных в (7) все сильнее отличаются от коэффициентов $C_{\alpha}(\vec{x}, t)$, характеризующих идеальные дифференциальные свойства функции влияния $G_{jk}(\vec{x}, \vec{x}', t, t')$. Это свидетельствует об усилении интегральных свойств функции влияния. При $\varepsilon \rightarrow 0$ $\omega_{\varepsilon}^{jk}(\vec{x}, \vec{x}', t, t') \rightarrow \delta(\vec{x} - \vec{x}', t - t')$, $C_{\alpha \varepsilon}^{jk}(\vec{x}, t) \rightarrow C_{\alpha}(\vec{x}, t)$ и интегральные свойства ослабевают.

Набор коэффициентов $C_{\alpha \varepsilon}^{jk}(\vec{x}, t)$ полностью характеризует дифференциальные свойства преобразования, осуществляемого j -м слоем нейронной сети над выходными сигналами k -х слоев. Функция $\omega_{\varepsilon}^{jk}(\vec{x}, \vec{x}', t, t')$ описывает интегральные свойства функции влияния $G_{jk}(\vec{x}, \vec{x}', t, t')$.

В целом соотношение (7) имеет много общих черт с формулой Родригеса для разложений по ортогональным функциям [8]. Пусть $\omega_{\varepsilon}^{jk}(\vec{x}, \vec{x}_{\text{ц}} + \vec{x}', t, t_{\text{ц}} + t') = A \exp[-\beta_1(x_1 - x_{1\text{ц}} - x_1')^2 - \beta_2(x_2 - x_{2\text{ц}} - x_2')^2 - \beta_3(x_3 - x_{3\text{ц}} - x_3')^2 - \beta_4(t - t_{\text{ц}} - t')]$ соотношение (7) сводится к разложениям по полиномам Эрмита и Лагерра относительно центра $(\vec{x}_{\text{ц}}, t_{\text{ц}})$.

Нетрудно показать, что функции влияния слоев нейронов с латерального анализатора, обладающих латеральным торможением [3], имеют дифференциальные свойства второго порядка, что способствует

декорреляции звуковых шумов и обострению чувствительности слуховой системы.

Исследование дифференциальных свойств динамической характеристики слуховых рецепторов (рис. 2) [4]

$$K_p^n(\vec{x}, t) = K_p^n(-\vec{x}, t) = \left(\frac{2000\pi}{\beta + 2000\pi} \right)^{0,8} \beta^{-3} \times \\ \times \{0,58 + 0,36\beta(t-T) e^{-\frac{\beta(t-T)}{2}} \sin[\beta(t-T)] + \\ + 0,58 - 0,32\beta(t-T) e^{-\frac{\beta(t-T)}{2}} \cos[\beta(t-T)] - 0,58e^{-\beta(t-T)}\}, \quad (11)$$

где $t \geq T$, $T = \frac{3\pi}{4\beta}$ — время задержки,

$\beta = \frac{a}{b + \psi(\vec{x})}$ — резонансная угловая частота колебаний бази-

лярной мембраны в точке \vec{x}

$(\psi(\vec{x}))$ — расстояние от стремечка до точки \vec{x} базилярной мембраны;

a, b — константы), показывает, что рецепторный аппарат уха обладает во времени дифференциальными свойствами нулевого, первого, второго, третьего и четвертого порядков, а также изменяющимися вдоль базилярной мембраны интегральными свойствами. Это обеспечивает повышение избирательности отдельных рецепторов по отношению к частоте входного звукового сигнала,

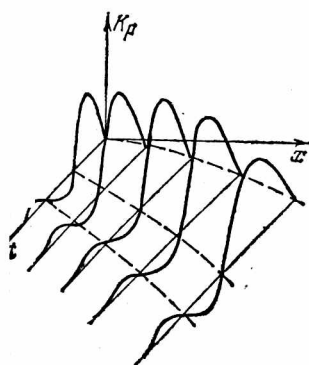


Рис. 2.

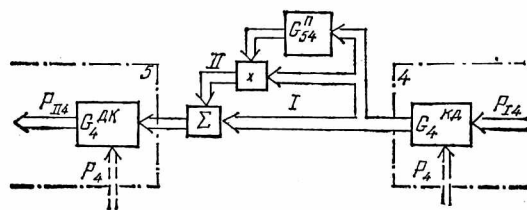


Рис. 3.

способствует реализации спектрального анализа звукового сигнала и преобразованию временного сигнала в пространственно-временной.

Преобразованный в пространственную форму и отфильтрованный от шумов слуховой сигнал поступает в кору головного мозга и ощущается звездчатыми клетками. Для запоминания этого сигнала путем изменения эффективности синапсов звездчатых клеток на мембранах пирамидных клеток необходимо предварительно закодировать его определенным кодом [6, 8]. Формально при исследовании процессов долговременной памяти связь между четвертым слоем звездчатых клеток и пятым слоем пирамидных клеток можно разделить на два

канала: постоянный I и модулируемый нервной активностью (рис. 3). По каналу I сигнал проходит без изменения, а в канале II модулируется слуховым сигналом, проинтегрированным во времени с динамической характеристикой $G_{54}^n(t, t')$. Между закодированным выходным сигналом четвертого слоя $P_{14}(\vec{x}, t)$ и декодированным входным сигналом пятого слоя $P_{14}^{\text{II}}(\vec{x}, t)$ в канале II существует отношение

$$P_{14}^{\text{II}}(\vec{x}, t) = \int \int_{R^3} \int_{-\infty}^t G_{54}^n(t, t') \left\{ \int \int_{R^3} G_4^{\text{DK}}(\vec{x}, \vec{x}'', t) G_4^{\text{KD}}(\vec{x}'', \vec{x}', t') \times \right. \\ \left. \times \left[\int \int_{R^3} G_4^{\text{KD}}(\vec{x}'', \vec{x}', t) P_{14}(\vec{x}', t) d\vec{x}' \right] d\vec{x}'' \right\} P_{14}(\vec{x}'', t) dt' d\vec{x}''.$$

Из выходного сигнала четвертого слоя может быть выделена постоянная составляющая a :

$$P_4(\vec{x}'', t) = \int \int_{R^3} G_4^{\text{KD}}(\vec{x}'', \vec{x}', t) P_{14}(\vec{x}', t) d\vec{x}' = a + \Delta a(\vec{x}'', t).$$

Величина $\Delta a(\vec{x}'', t)$ может рассматриваться как помеха $\eta_{54}(\vec{x}'', t)$ в канале связи II . При использовании шумоподобных голографических кодов помехи ослабляются [9], поэтому далее учитываются только постоянная составляющая реакции четвертого слоя

$$P_4(\vec{x}'', t) = a.$$

Тогда

$$P_{14}^{\text{II}}(\vec{x}, t) = a \int \int_{R^3} \int_{-\infty}^t G_{54}^n(t, t') [G_4^{\text{DK}}(\vec{x}, \vec{x}'', t) \times \\ \times G_4^{\text{KD}}(\vec{x}'', \vec{x}', t') d\vec{x}''] P_{14}(\vec{x}'', t') dt' d\vec{x}''.$$

Для голографических кодов [9]

$$\int \int_{R^3} G_4^{\text{DK}}(\vec{x}, \vec{x}'', t) G_4^{\text{KD}}(\vec{x}'', \vec{x}', t') d\vec{x}'' = \\ = \int \int_{R^3} G_4^{\text{DK}}(\vec{x}'', t) e^{-i\mu_4(\vec{x}'', t)} G_4^{\text{KD}}(\vec{x}'', t') e^{i\mu_4(\vec{x}'', t')} \times \\ \times e^{2\pi i \sum_{m=1}^3 [\nu_m^4(x_m'' t') - \nu_m^4(x_m t)]} \times e^{-2\pi i \sum_{m=1}^3 x_m''(x_m - x_m'')} d\vec{x}'' = \\ = e^{2\pi i \sum_{m=1}^3 [\nu_m^4(x_m'' t') - \nu_m^4(x_m t)]} \times \\ \times F_{x-x''}^{\rightarrow} \{G_4^{\text{DK}}(\vec{x}'', t') G_4^{\text{KD}}(\vec{x}'', t) e^{i[\mu_4(\vec{x}'', t') - \mu_4(\vec{x}'', t)]}\}.$$

Если в некоторый момент времени $t = t' + T(t)$ ядра кодирующей и декодирующей операций согласованы, т. е.

$$\begin{aligned} G_4^{\text{DK}}(\vec{x}'', t) &= G_4^{\text{KD}}(\vec{x}'', t')^{-1}; \\ \mu_4(\vec{x}'', t) &= \mu_4(\vec{x}'', t'); \\ v_m^4(x_m, t) &= v_m^4(x_m, t'), \quad m = 1, 2, \end{aligned} \quad (17)$$

то (16) равно δ -функции. При рассогласовании этих ядер пространственный спектр отличен от δ -функции. Это отличие тем сильнее, чем ближе функции $G_4^{\text{DK}}(\vec{x}'', t) e^{-i\mu_4(\vec{x}'', t)}$ и $G_4^{\text{KD}}(\vec{x}'', t') e^{i\mu_4(\vec{x}'', t')}$ к выборкам белого шума. Спектр произведения таких функций является широкополосным и стремится к константе $\alpha e^{i\beta}$. Резкий переход пространственного спектра от константы $\alpha e^{i\beta}$ к δ -функции в момент времени $t = t' + T(t)$ может быть аппроксимирован функцией $\gamma(t) \delta[t' - t + T(t)]$. Тогда

$$\begin{aligned} \iint_{R^2} G_4^{\text{DK}}(\vec{x}, \vec{x}'', t) G_4^{\text{KD}}(\vec{x}'', \vec{x}''', t') d\vec{x}'' &= \gamma(t) \delta(\vec{x} - \vec{x}''') \otimes \\ &\times \delta[t' - t + T(t)] + \alpha e^{i\beta + 2\pi i \sum_{m=1}^2 [v_m^4(x_m''', t') - v_m^4(x_m, t)]}; \end{aligned} \quad (18)$$

$$\begin{aligned} P_{114}^{\text{II}}(\vec{x}, t) &= \alpha \gamma(t) G_{54}^{\text{II}}[t, t - T(t)] P_{14}[\vec{x}, t - T(t)] + \\ &+ \alpha \alpha e^{i\beta - 2\pi i \sum_{m=1}^2 v_m^4(x_m, t)} \iint_{R^2} \int_{-\infty}^{t'} G_{54}^{\text{II}}(t, t') \otimes \\ &\times e^{2\pi i \sum_{m=1}^2 v_m^4(x_m''', t')} P_{14}(\vec{x}''', t') dt d\vec{x}'''. \end{aligned} \quad (19)$$

Член, слагаемое путем подбора знакопеременной функции $\sum_{m=1}^2 v_m^4(x_m''', t')$ может быть уменьшено до малой величины и может рассматриваться как помеха в канале связи II. Окончательно имеем

$$P_{114}^{\text{II}}(\vec{x}, t) = \alpha \gamma(t) G_{54}^{\text{II}}[t, t - T(t)] P_{14}[\vec{x}, t - T(t)]. \quad (20)$$

Параметр $\gamma(t)$ характеризует степень приближения функции $G_4^{\text{DK}}(\vec{x}'', t) e^{-i\mu_4(\vec{x}'', t)}$ и $G_4^{\text{KD}}(\vec{x}'', t') e^{i\mu_4(\vec{x}'', t')}$ к выборкам белого шума. Чем выше степень приближения, тем меньше $\gamma(t)$. Для белого шума $\gamma(t) \rightarrow 0$. Таким образом, при увеличении точности воспроизведения уменьшается амплитуда воспроизводимого сигнала. Компромисс между точностью и амплитудой достигается путем многократной записи

сигнала. В этом случае уравнение $t' = t - T(t)$ заменяется системой $t' = t - T_1(t)$, $t' = t - T_2(t)$, ..., $t' = t - T_n(t)$ и

$$\int_{R^3} G_4^{\text{ДК}}(\vec{x}, \vec{x}'', t) G_4^{\text{КД}}(\vec{x}'', \vec{x}', t') d\vec{x}' =$$

$$= \sum_{i=1}^n \gamma_i(t) \delta[t' - t + T_i(t)] \delta(\vec{x} - \vec{x}''');$$

$$P_{\text{П4}}^{\text{II}}(\vec{x}, t) = a \sum_{i=1}^n \gamma_i(t) G_{54}^{\text{II}}[t, t - T(t)] P_{\text{I4}}[\vec{x}, t - T_i(t)] =$$

$$= a P_{\text{I4}}[\vec{x}, t - T_1(t)] \sum_{i=1}^n \gamma_i(t) G_{54}^{\text{II}}[t, t - T_i(t)].$$

Условие многократной записи выполняется при совмещении кратковременной и долговременной памяти в пирамидных клетках. Длительная циркуляция некоторого слухового сигнала по каналам связи между звездчатыми и пирамидными клетками (рис. 1) соответствует многократной записи сигнала в долговременной памяти.

Вид функции $T(t)$ характеризует темп воспроизведения сигналов из долговременной памяти и определяется видом функции

$G_4^{\text{ДК}}(\vec{x}'', t) e^{-i\nu_4(\vec{x}'', t)}$, которая является комплексным коэффициентом усиления сигнала на входе пятого слоя. Эта функция должна быть обратной коэффициенту усиления сигнала на выходе четвертого слоя нейронной сети слухового анализатора $G_4^{\text{КД}}(\vec{x}'', t') e^{i\nu_4(\vec{x}'', t')}$. В противном случае не будет согласования между операциями кодирования и декодирования [8].

Таким образом, эффективность пресинаптических мембран нейронов четвертого слоя под действием проходящих по ним сигналов должна изменяться обратно пропорционально изменению чувствительности постсинаптических мембран нейронов пятого слоя: пресинаптическим мембранам должна быть свойственна депрессия, а постсинаптическим — депрессия.

Функции $G_4^{\text{ДК}}(\vec{x}'', t) e^{-i\nu_4(\vec{x}'', t)}$ и $G_4^{\text{КД}}(\vec{x}'', t') e^{i\nu_4(\vec{x}'', t')}$ должны быть близкими к выборкам белого шума. Поэтому сигналы, вызывающие их изменение, также должны быть шумоподобными. Это условие легко выполняется при разделении $G_4^{\text{КД}}(\vec{x}'', t') e^{i\nu_4(\vec{x}'', t')}$ на шумоподобную статическую и динамическую компоненты. Последняя пропорциональна проходящему сигналу.

В целом система, использующая шумоподобные интегрально-голографические коды при анализе сигналов, высоконадежна, выборочна и обладает широкими возможностями при запоминании и воспроизведении сигналов.

ЛИТЕРАТУРА

1. Радионова Е. А. Функциональная характеристика нейронов кол-леарных ядер и слуховая функция. Л., «Наука», 1971. 196 с.
2. Д о л я т о в с к и й В. А. Информационные процессы в слуховом анализаторе. — В кн.: Современные проблемы нейрокибернетики. Л., с. 94—107.
3. П о з и н Н. В. Моделирование нейронных структур. М., «Наука», 1970. 260 с.
4. Ф л а н а г а н Д. Л. Анализ, синтез и восприятие речи. М., «Связь». 1968. 396 с.
5. З о з у л я Ю. И. Метод многоуровневого анализа нелинейных динамических систем мозга (см. статью в настоящем сборнике).
6. В л а д и м и р о в В. С. Уравнения математической физики. М., «Наука», 1971. 512 с.
7. З о з у л я Ю. И., Ч е р в о в В. Г. Модель нейронной сети зрительного анализатора. — В сб.: Проблемы бионики. Вып. 9. Харьков, 1972, с. 28—36.
8. А р ф к е н Г. Методы математической физики. М., Атомиздат, 1970. 712 с.
9. З о з у л я Ю. И. Надежные вычисления при наличии шумов в зрительном анализаторе. — В сб.: Проблемы бионики. Вып. 12. Харьков, 1973, с. 3—10